

## عملی فیزیاء 2 "الروبوت والأنظمة الذكية" في مخبر الفیزیاء



إعداد : م. علي اسماعيل

2024-2025

## الفهرس

اسم التجربة	رقم التجربة
قياس الحقل المغناطيسي المتولد عن ناقل مستقيم <b>Measuring the magnetic field for a straight conductor</b>	1
قياس الحقل المغناطيسي المتولد عن حلقات دائيرية ناقلة <b>Measuring the magnetic field for a circular conductor loops</b>	2
تحديد المركبة الأفقيّة للحقل المغناطيسي الأرضي <b>Determining the magnetic field longitude component of the earth</b>	3
قياس الخطوط الطيفية لغازات خامل وأبخرة المعادن باستخدام المنشور كمحلل طيفي <b>Measuring the line spectra of inert gases and metal vapors using a prism spectrometer</b>	4
التمدد الحراري الطولي للأجسام الصلبة <b>Linear thermal expansion of solid bodies</b>	5
الحرارة النوعية للأجسام الصلبة <b>Determining the specific heat of solid</b>	6
دراسة شحن وتفرغ المكثفة <b>Studying the charging and discharging of a capacitor</b>	7

## التجربة الأولى:

### قياس الحقل المغناطيسي المتولد عن ناصل مستقيم

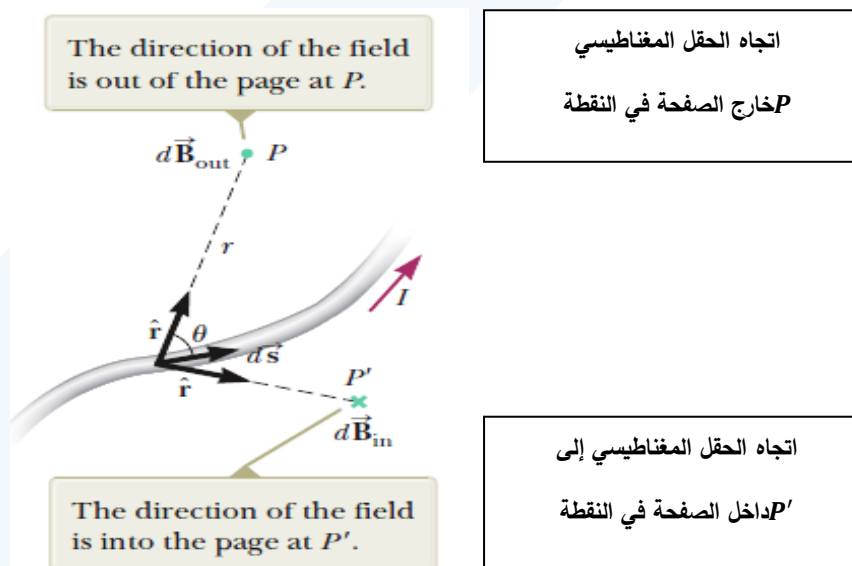
#### Measuring the magnetic field for a straight conductor

#### 1- أهداف التجربة: Objects of the Experiment

- قياس الحقل المغناطيسي المتولد عن ناصل مستقيم كتابع لشدة التيار، ثم كتابع للمسافة عن محور الناصل.
- Measuring the magnetic field for a straight conductor as a function of the current, then as a function of the distance from the axis of the conductor.

#### 2- مفاهيم أساسية: Principles

الحقل المغناطيسي  $\vec{B}$  المتولد في أي نقطة  $P$  تبعد عن ناصل مسافة  $r$  يمر خلاله تيار كهربائي  $I$  كما هو موضح في الشكل (1)، يحسب بالاعتماد على قانون بيو سافار Bio-Savart.



الشكل (1): الحقل المغناطيسي  $d\vec{B}$  في نقطة  $d\vec{s}$

بسبب التيار المار عبر الطول العنصري  $d\vec{s}$  يعطى بقانون بيو-سافار

في نقطة  $d\vec{B}$  الشكل (1): الحقل المغناطيسي

$$d\vec{B} = \frac{\mu_0}{4\pi} \cdot \frac{Id\vec{s} \times \hat{r}}{r^2} = \frac{\mu_0}{4\pi} \cdot \frac{Id\vec{s} \sin\theta}{r^2} \quad (1)$$

حيث المقدار  $\hat{r} \times d\vec{s}$  يعبر عن الجداء الخارجي للشعاع العنصري  $d\vec{s}$  وشعاع الواحدة  $\hat{r}$ :

$$d\vec{s} \times \hat{r} = |d\vec{s}| \cdot |\hat{r}| \sin\theta = ds \cdot 1 \cdot \sin\theta = ds \sin\theta$$

- شعاع الحقل المغناطيسي عمودي على كل من  $d\vec{s}$  (اتجاه التيار) وشعاع الواحدة  $\hat{r}$  الموجه من  $d\vec{s}$  إلى النقطة  $P$ .
  - قيمة (مقدار)  $d\vec{B}$  تتناسب عكساً مع  $r^2$ , حيث  $r$  بعد  $d\vec{s}$  عن النقطة  $P$ .
  - قيمة  $d\vec{B}$  تتناسب طرداً مع التيار ومع القيمة العددية  $ds$  لطول العنصر التفاضلي  $d\vec{s}$ .
  - قيمة  $d\vec{B}$  تتناسب طرداً مع  $\sin\theta$ , حيث  $\theta$  الزاوية بين الشعاع  $d\vec{s}$  وشعاع الواحدة  $\hat{r}$ .
- حيث  $\mu_0$  ثابت يُدعى بنفاذية المغناطيسية للفراغ (الخلاء) ويساوي:

$$\mu_0 = 4\pi \cdot 10^{-7} \left[ \frac{\text{Tesla} \cdot \text{meter}}{\text{Ampere}} \right] = 4\pi \cdot 10^{-7} \left[ \frac{\text{T} \cdot \text{m}}{\text{A}} \right]$$

لحساب الحقل المغناطيسي الكلي يجب مكاملة العلاقة (1) على طول الناقل:

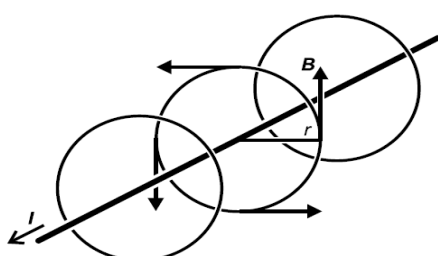
$$\vec{B} = \frac{\mu_0}{4\pi} \int \frac{Id\vec{s} \times \hat{r}}{r^2} \quad (2)$$

1-2- شدة الحقل المغناطيسي المتولد عن ناقل مستقيم متجانس وطوله لانهائي:

القيمة العددية للحقل المغناطيسي (أي شدة الحقل المغناطيسي) المتولد في نقطة، تبعد مسافة  $r$  عن محور الناقل المستقيم الذي يمر فيه تيار شدته  $I$  تُعطى بالعلاقة التالية:

$$B = \frac{\mu_0 I}{2\pi r} = 2 \cdot 10^{-7} \frac{I}{r} \quad (3)$$

وتكون خطوط الحقل المغناطيسي متعددة المركز حول محور الأسطوانة، كما هو موضح في الشكل (2).



الشكل (2): الحقل المغناطيسي المتولد عن ناقل مستقيم طویل (لانهائي).

### 3 - الأجهزة والأدوات: Equipment:

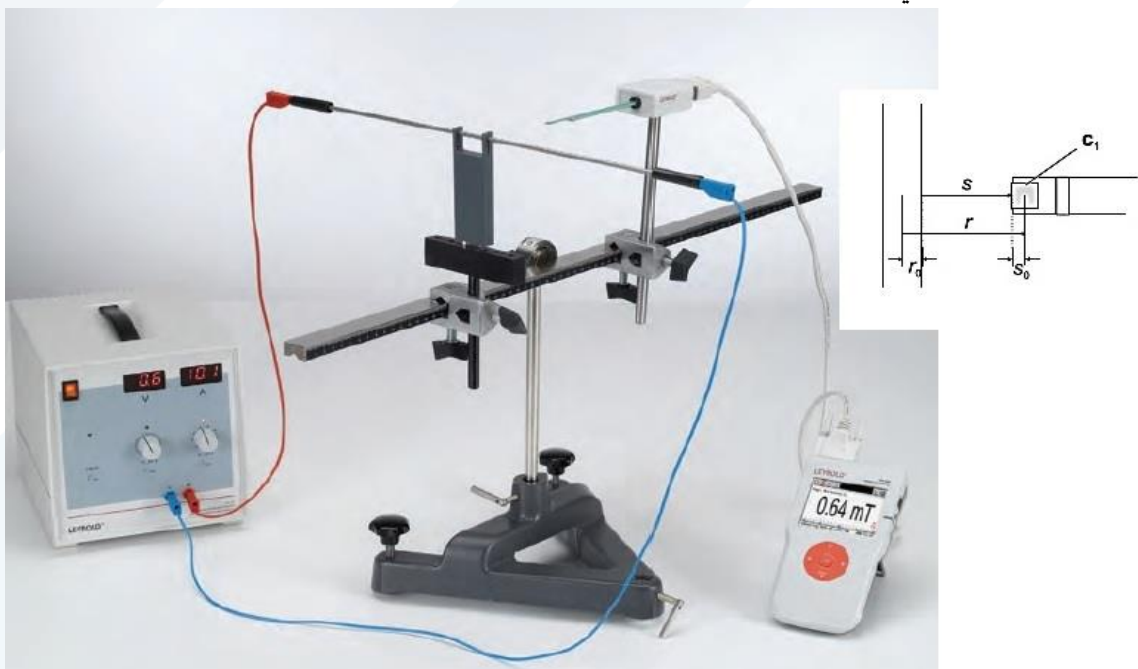
1 Set of 4 current conductors.	1 مجموعة من أربع نوافل.
1 teslameter.	1 مقياس تسلا.
1 axial B-probe.	1 كابل محوري حساس.
1 tangential B-probe.	1 كابل ممامي حساس.
1 multicore cable, 6-pole.	1 أسلاك توصيل متعدد.
1 high current power supply.	1 منبع نغذية ذات تيار مرتفع.
1 small optical bench.	1 مقعد ضوئي صغير.
1 holder for plug-in elements.	1 ممسك (حامل) للعناصر.
2 Leyboldmulticlammps.	2 ملائم ليبلود.
1 stands base, V-shape, 28 cm.	1 قاعدة حمل على شكل حرف V بطول 28 سم.

### 4 - خطوات العمل وتنفيذ التجربة: Setup and carrying out the experiment:

أولاًً - الحقل المغناطيسي المتولد عن ناصل مستقيم: Magnetic field of a straight conductor

a) الحقل المغناطيسي المتولد عن ناصل مستقيم في النقطة  $0 = s$  كتابع لشدة التيار.

(1) صل الدارة كما في الشكل (3).



Experiment setup for measuring the magnetic field at a straight conductor.

الشكل (3): طريقة وصل التجربة من أجل الحصول على الحقل المغناطيسي المتولد عن سلك ناصل.

- (2) شغل الجهاز المتصل بحساس الحقل المغناطيسي وضعه على وضع قياس الحقل المغناطيسي.
- (3) يتم تفعيل الحساس المماسي للمقياس من خلال menu أو ضغط ok ومن ثم أتباع الخطوات التالية:
  - 1 وضع sensor على وضع tangential.
  - 2 وضع rang على الوضع automatic.
  - 3 عند التسجيل recording نختار الوضع RMS.
  - 4 نضع options على وضع 0.
  - 5 نعود بالأسهم.
  - 6 نعاير أو نضع الـ correction على القيمة الموجودة بالجدول من أجل  $I = 20 A$  (في حالات خاصة قد لا نحتاجها).
- (4) أضبط المسافة بين الحساس والسلك  $s = 0$  أي الحساس يلامس السلك، كما هو موضح في الشكل(3)، مع الأخذ بعين الاعتبار أن  $s + s_0 + r = r_0 + s_0 = 2r_0 = 4mm$  يمثل قطر السلك،  $s_0 = 2mm$  تمثل بعد مركز الحساس عن سطح السلك،  $r$  تمثل المسافة من منتصف الحساس إلى منتصف السلك.
- (5) غير قيم شدة التيار كما هو موجود بالجدول (1) وسجل قيم شدة الحقل المغناطيسي، ثم أحسب قيم شدة الحقل المغناطيسي نظرياً باستخدام العلاقة (3).

جدول (1): الحقل المغناطيسي المتولد عن تبادل مستقيم كتابع لشدة التيار  $I$ ، في النقطة  $s = 0$ .

$I[A]$	$B[mT]$ تجريبياً من المقياس	$B[mT]$ نظرياً
0		
2		
4		
6		
8		
10		
12		
14		
16		
18		
20		

- (6) ارسم الخط البياني الذي يعبر عن تغيرات شدة الحقل المغناطيسي ( $mT$ )  $B$  بتابعية شدة التيار ( $A$ )  $I$ .
- (7) احسب ميل الخط البياني، ماذا يمثل الميل؟ وبالاعتماد على قيمة الميل، استنتج قيمة  $\mu_0$ ، أكتب واحدة قياسها.

b) الحقل المغناطيسي المتولد عن ناقل مستقيم يمر فيه تيار ثابت، كتابع للمسافة  $s$  عن الناقل.

$$(1) \text{ أضبط قيمة التيار } I = 20A$$

(2) أضبط المسافة بين الحساس والناقل، على القيم المبينة في الجدول (2)، وسجل قيم شدة الحقل المغناطيسي، ثم أحسب قيم شدة الحقل المغناطيسي نظرياً باستخدام العلاقة (3).

الجدول (2): تغيرات شدة الحقل المغناطيسي المتولدة عن ناقل مستقيم يمر فيه تيار ثابت، كتابع للمسافة  $s$ .

$s [mm]$	$B [mT]$ تجريباً	$r = r_0 + s_0 + s$ [mm]	$B [mT]$ نظرياً
0			
2			
4			
6			
8			
10			
15			
20			

(3) ارسم الخط البياني الذي يعبر عن تغيرات شدة الحقل المغناطيسي ( $mT$ ) بتابعية المسافة ( $mm$ )، ماذا تلاحظ؟

(4) استنتج من الجداولين (1) و (2)، تأثير تغير كل من شدة التيار، والمسافة، على شدة الحقل المغناطيسي المتولد عن ناقل مستقيم، ثموضح طبيعة العلاقة التي تربط بينها.

(5) ما هي أهداف التجربة.

(6) اكتب العلاقة المستخدمة في قياس شدة الحقل المغناطيسي المتولد عن ناقل مستقيم مع ذكر دلالة الرموز وواحدة قياس كل منها في الجملة الدولية.

## 5- خطوات إضافية مقترحة :

## التجربة الثانية.

### قياس الحقل المغناطيسي المتولد عن حلقات دائيرية ناقلة

Measuring the magnetic field for a circular conductor loops

#### 1- أهداف التجربة: Objects of the Experiment

- |  |  |
|--|--|
| <ul style="list-style-type: none"> <li>- Measuring the magnetic field for a circular conductor loops as a function of the current.</li> <li>- Measuring the magnetic field of circular conductor loops as a function of the loop radius and the distance from the loop.</li> </ul> | <ul style="list-style-type: none"> <li>- قياس الحقل المغناطيسي المتولد عن حلقة دائيرية الشكل كتابع لشدة التيار.</li> <li>- قياس الحقل المغناطيسي المتولد عن حلقات دائيرية الشكل كتابع لتغير نصف قطر الحلقة والمسافة عن مركز الحلقة.</li> </ul> |
|--|--|

#### 2- مفاهيم أساسية: Principles

تُحسب شدة الحقل المغناطيسي  $B$  المتولد عن حلقة ناقلة دائيرية الشكل من العلاقة التالية:

$$B = \frac{\mu_0}{2} \cdot I \cdot \frac{R^2}{(R^2 + X^2)^{3/2}} = 2\pi \cdot 10^{-7} \cdot I \cdot \frac{R^2}{(R^2 + X^2)^{3/2}} \quad (4)$$

حيث إن:

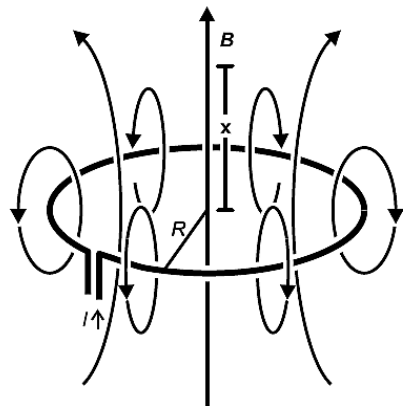
$X$ : تمثل البعد عن مركز الحلقة (أي النقطة المراد تعين الحقل المغناطيسي فيها).

$R$ : نصف قطر الحلقة.

لحساب الحقل المغناطيسي المتولد في مركز الحلقة (أي عندما  $X = 0$ ) تصبح العلاقة السابقة على الشكل التالي:

$$B = \frac{\mu_0}{2R} \cdot I = 2\pi \cdot 10^{-7} \frac{I}{R} \quad (5)$$

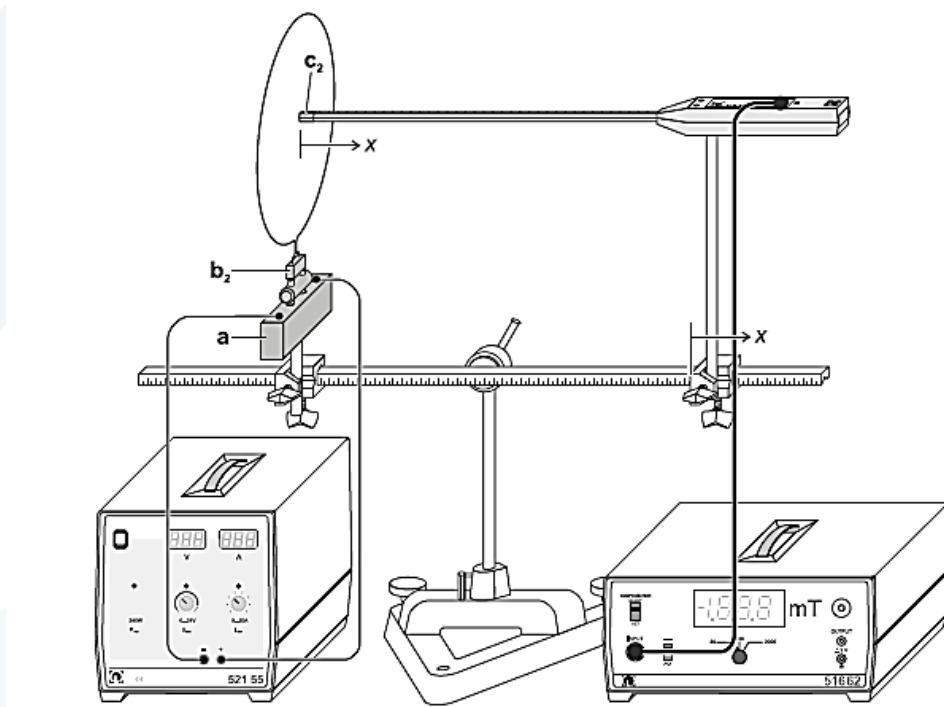
**Magnetic field of at a straight circular conductor loops:** الحقل المغناطيسي المتولد عن حلقة ناقلة دائيرية الشكل :



الشكل (4): يبين خطوط الحقل المغناطيسي في ناقل على شكل دائرة نصف قطره  $R$

a) الحقل المغناطيسي المتولد في مركز الحلقة  $\mathbf{B} = \mu_0 X$  كتابع لشدة التيار.

(1) وضع الحلقة التي قطريها ( $2R=40\text{ mm}$ )، في المكان المخصص كما هو موضح في الشكل (5).



Experiment setup for measuring the magnetic field at a circular conductor loops.

الشكل (5): طريقة وصل التجربة من أجل الحصول على الحقل المغناطيسي المتولد عن سلك على شكل دائرة.

(2) أضبط الحساس المحوري axial لحساس مقاييس تسلا في مركز الحلقة  $\mathbf{B} = \mu_0 X$

(3) شغل الجهاز المتصل بحساس الحقل المغناطيسي وضعه على وضع قياس الحقل المغناطيسي.

(4) يتم تفعيل الحساس المحوري لمقياس تسلا من خلال menu أو ضغط ok ومن ثم أتباع الخطوات التالية:

-1 وضع .axial على وضع sensor

- 2 وضع `rang` على الوضع `automatic`.
  - 3 عند التسجيل `recording` نختار الوضع `RMS`.
  - 4 نضع `options` على وضع `0`.
  - 5 نعاير أو نضع `correction` على القيمة الموجودة بالجدول من أجل  $A = 20$  (في حالات خاصة قد لا نحتاجها).
- (5) غير في قيم شدة التيار كما هو موجود بالجدول (1)، وسجل قيم شدة الحقل المغناطيسي التجريبية من مقياس تسلا، في الجدول.
- (6) أحسب شدة الحقل المغناطيسي  $B$  في مركز الحلقة (أي عندما  $X = 0$ ) ظريرياً، باستخدام العلاقة (5).  
 الجدول (1): شدة الحقل المغناطيسي  $B$  في مركز الحلقة (أي عندما  $X = 0$ )، كتابع لشدة التيار  $I$ .

$I[A]$	$B[mT]$ تجريباً	$B[mT]$ نظرياً
0		
2		
4		
6		
8		
10		
12		
14		
16		
18		
20		

ماذا تستنتج؟

- (7) أرسم تغيرات الحقل المغناطيسي  $B$  المتولد عن الحلقة التي قطرها (40 mm) (40 mm) كتابع لشدة التيار  $I$ ، في مركز الحلقة الدائرية.
- (8) أحسب ميل الخط البياني، ماذا يمثل الميل؟ وبالاعتماد على قيمة الميل، استنتاج قيمة  $\mu_0$ ، أكتب واحدة قياسها.
- c) الحقل المغناطيسي المتولد عن حلقات بأقطار مختلفة يمر فيها تيار ثابت، كتابع للمسافة  $X$  عن مركز الحلقة.
- (1) ضع الحلقة التي قطرها ( $2R=80$  mm)، في المكان المخصص.
  - (2) أضبط قيمة التيار  $I = 20A$ .
- (3) أضبط المسافة  $X$  بين منتصف الحساس المحوري ومركز الحلقة ، وسجل قيم شدة الحقل المغناطيسي من مقياس تسلا في الجدول (2).
- الجدول (2): الحقل المغناطيسي المتولد عن حلقة يمر فيها تيار ثابت، كتابع للمسافة  $X$  عن مركز الحلقة.

$2R = 80 \text{ mm}$		
$X[\text{cm}]$	$B[\text{mT}]$ تجريبياً	$B[\text{mT}]$ نظرياً
0		
1		
2		
3		
4		
5		
6		
7		

ماذا تستنتج؟

- (4) كرر الخطوات (2)، (3)، من أجل الحلقة التي قطعها ( $2R=120 \text{ mm}$ ) و سجل النتائج في الجدول (3)  
 الجدول (3): الحقل المغناطيسي المتولد عن حلقة يمر فيها تيار ثابت،تابع للمسافة  $x$  عن مركز الحلقة.

$2R = 120 \text{ mm}$		
$X[\text{cm}]$	$B[\text{mT}]$ تجريبياً	$B[\text{mT}]$ نظرياً
0		
1.5		
3		
4.5		
6		
7.5		
9		

أرسم المنحني البياني الذي يعبر عن تغيرات  $B$  بتابعية  $X$  من أجل الحلقات السابقة على نفس المحاور الاحادية، ماذا تستنتج؟

خطوات إضافية مقتراحه:

### التجربة الثالثة:

#### تحديد المركبة الأفقية للحقل المغناطيسي الأرضي

#### Determining the magnetic field longitude component of the earth

#### 1- أهداف التجربة:

Determining the magnetic field longitude component of the earth  $B_H$  using the Tangent Galvanometer.

تعيين المركبة الأفقية للحقل المغناطيسي الأرضي  
باستخدام مقياس غلفانومتر الظل.

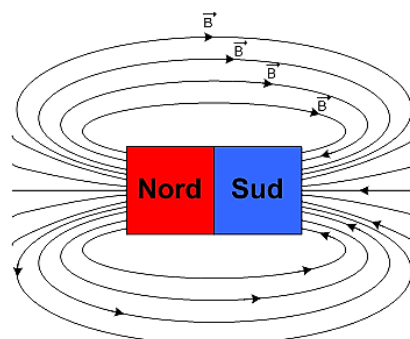
#### 2- مفاهيم أساسية:

تمتلك الكوكبة الأرضية التي نعيش عليها حقلًّا مغناطيسيًّا، وقد استعمل الإنسان أثره منذ القديم في التوجيه وذلك بوساطة البوصلة، انظر الشكل (1). حيث يتجه القطب الشمالي لإبرتها نحو الشمال الجغرافي تقريبًا.



شكل (1): بوصلة.

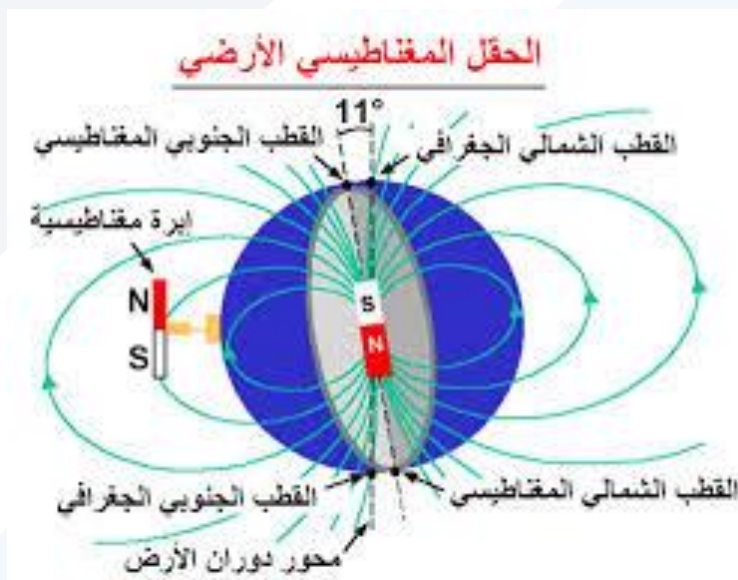
يملك المغناطيس قطبين، شمالي وجنوبي وتخرج خطوط الحقل المغناطيسي للمغناطيس من قطبه الشمالي وتدخل في قطبه الجنوبي، انظر الشكل (2).



شكل (2): خطوط الحقل المغناطيسي  $\vec{B}$  لمغناطيس.

South	Sud	≡	جنوب
North	Nord	≡	شمال

تناقض الأقطاب المغناطيسي المتشابهة بينما تتجاذب الأقطاب المغناطيسي المختلفة. وهكذا يجب أن تمتلك الأرض قطباً مغناطيسياً جنوباً في شمالها الجغرافي لأنها تجذب القطب الشمالي المغناطيسي للإبرة، وأن تملك قطباً مغناطيسياً شمالياً في جنوبها الجغرافي. من أجل إزالة التشویش في استعمال الشمال المغناطيسي والشمال الجغرافي اصطلاح على تسمية القطب الجنوبي المغناطيسي للأرض بالقطب الشمالي ليكون في جهة الشمال الجغرافي لها، وعلى تسمية قطبهما الشمالي المغناطيسي بالقطب الجنوبي ليكون في جهة الجنوب الجغرافي لها، وهذا يفسر خروج خطوط حقلها المغناطيسي من القطب الجنوبي ودخولها في القطب الشمالي للأرض، انظر الشكل (3).



شكل (3): اتجاه خطوط الحقل المغناطيسي الأرضي.

#### ملاحظة:

يُستخدم المغناطيس الدائم المغнетة كبوصلة. إن المغناطيس الدائم المغنة سواء كان معلقاً أو قابلاً للدوران بحرية، أو مركباً فوق إبرة مؤنفة فإن إحدى نهايتيه تشير دائماً إلى الشمال، وهذه النهاية تُدعى القطب الشمالي للمغناطيس، والهادئة الأخرى تُدعى القطب الجنوبي. وبأي طريقة أزحنا فيها المغناطيس الدائم المغنة أو الإبرة المغناطيسية عن وضع الاستقرار فسوف يعودان دائماً إلى الاستقرار باتجاه شمال جنوب، وأي مغناطيس قابل للحركة بحرية سوف يشير قطبه الشمالي إلى القطب الشمالي الجغرافي للأرض الذي هو في الحقيقة قطب مغناطيسي جنوب. ويمكن التتحقق من ذلك تجريبياً بسهولة.

إذا طبقنا حقل مغناطيسي ناظمي (عمودي) معلوم الشدة  $B_2$  على إبرة مغناطيسية فإنها ستدور بزاوية  $\alpha$ ، انظر الشكل

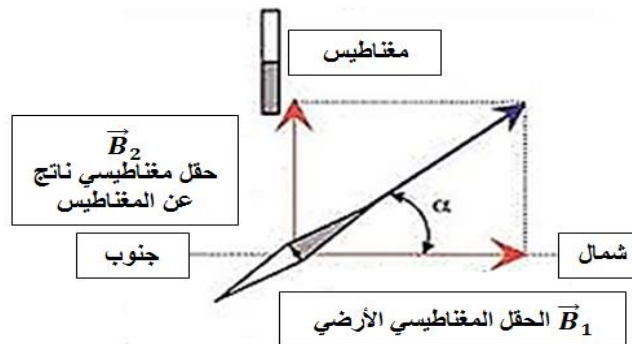
(4)، تستقر عندها، ويتعلق وضع التوازن بكل من المركبة الأفقية للحقل المغناطيسي الأرضي  $B_H = \vec{B}_1 + \vec{B}_2$  والحقل

المغناطيسي المطبق  $\vec{B}_2$ ، وتكون محصلة الحقل المطبق هي:

$$\vec{B} = \vec{B}_1 + \vec{B}_2 \quad (1)$$

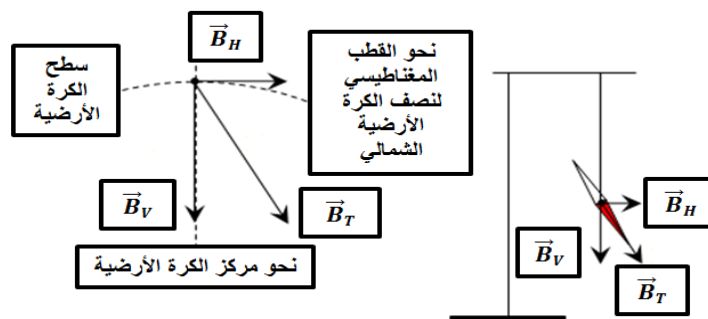
أما العلاقة بين طولتي الحقلين  $B_1$  و  $B_2$  فهي:

$$B_2 = B_1 \cdot \tan \alpha \quad (2)$$



شكل (4): انحراف إبرة بوصلة بزاوية  $\alpha$  تحت تأثير حقل مغناطيسي ناتج عن مغناطيس.

يمكن أيضاً أن نمثل الحقل المغناطيسي الأرضي الكلي  $\vec{B}_T$  وفق الشكل (5).



شكل (5): توضيح الحقل المغناطيسي الأرضي الكلي  $\vec{B}_T$ : حيث  $\vec{B}_H$  المركبة الأفقية المتجهة نحو القطب المغناطيسي لنصف الكرة الأرضية الشمالي، و  $\vec{B}_V$  المركبة الناظمية ( العمودية ) المتجهة نحو مركز الكرة الأرضية.

يُعتمد عادةً على هذه العلاقة لحساب شدة المركبة الأفقية للحقل المغناطيسي الأرضي، وذلك باستخدام جهاز غلفانومتر الظل (Tangent Galvanometer) ويتألف منوشيعة شاقولية دائيرية قطرها ( $2a = 15.10^{-2}m$ )، وعدد لفاتها ( $n = 2, 50, 500$ ). يوجد في مركز الوشيعة علبة تحوي قرصاً مُدرجاً حتى  $360^\circ$ ، ويوجد في مركزه إبرة مغناطيسية مثبت عليها مؤشر. ويرتكز جهاز الغلفانومتر على قاعدة ذات ثلاثة أرجل لولبية، انظر الشكل (6). تولد الوشيعة حقولاً مغناطيسياً معامداً لمستويها شدته تُعطى بالعلاقة الآتية:

$$B_2 = n \cdot \frac{\mu_0 I}{2a} \quad (3)$$

حيث أن:

عدد لفاتها  $n$ .

شدة التيار المار فيها  $I$ .

نصف قطرها  $a$ .

شدة الحقل المغناطيسي  $B$  (Tesla).

بتعميض المعادلة (3) بالمعادلة (2) نجد أن المركبة الأفقية للحقل المغناطيسي الأرضي  $B_H = B_1$  تعطى بالمعادلة التالية:

$$n \cdot \frac{\mu_0 I}{2a} = B_1 \cdot \tan \alpha \rightarrow B_1 = n \cdot \frac{\mu_0 I}{2a \cdot \tan \alpha} \quad (4)$$

ولكن نعلم أن:

$$\mu_0 = 4\pi \cdot 10^{-7} \frac{T \cdot m}{A}$$

وأن نصف قطر الوشيعة  $a$  معطى بـ cm نحول إلى m نعرض في المعادلة (4) نجد:

$$B_1 = B_H = n \cdot \frac{4\pi \cdot 10^{-7} I}{2a \tan \alpha} = \frac{2\pi \cdot 10^{-7} \cdot n \cdot I}{a \cdot \tan \alpha} \quad (T) \quad (5)$$

من المعادلة (5) نجد:

$$I = \frac{a \cdot B_H}{2\pi \cdot 10^{-7} \cdot n} \tan \alpha \quad (6)$$

برسم المنحني البياني  $I = f(tg \alpha)$ , فإننا نحصل على خط مستقيم ميله يساوي:

$$m = \frac{a \cdot B_H}{2\pi \cdot 10^{-7} \cdot n} \quad (7)$$

ومنه نستطيع حساب المركبة الأفقية للحقل المغناطيسي الأرضي.

نعلم أن:

$$1T = 10^4 \text{ Gauss}$$



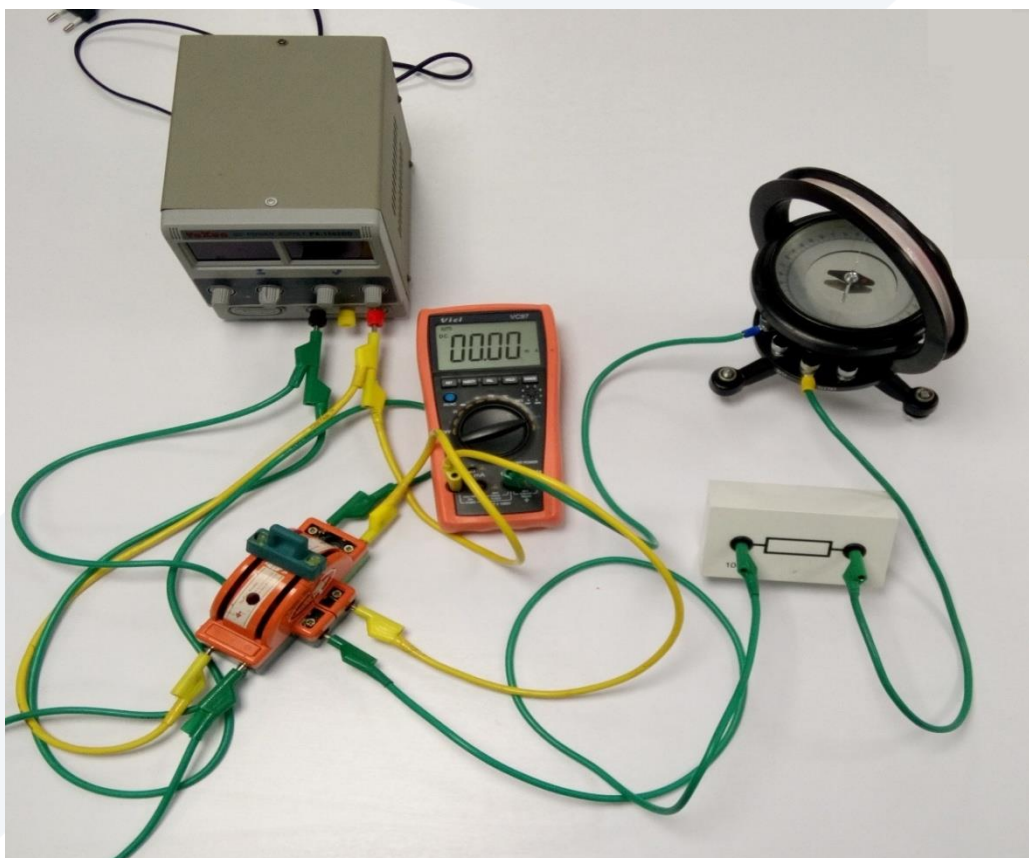
شكل (6): يُبين شكلين لgalvanometer الظل.

### 3- الأجهزة والأدوات:

- (1) جهاز غلفانومتر الظل، شكل (6).
  - (2) مولد جهد مستمر، ومقاييس آفو متعدد الأغراض لقياس شدة التيار.
  - (3) علبة مقاومات.
  - (4) قاطعة عاكسة.
- أسلاك توصيل.

#### 4- خطوات العمل وتنفيذ التجربة: Setup and carrying out the experiment:

بُبَيِّن الشكل(7) الدارة المستخدمة في القياسات التجريبية.



شكل (7): الدارة المستخدمة في القياسات التجريبية.

- (1) دور قاعدة غلفانومتر الظل بحيث تقع الإبرة المغناطيسية في مستوى الحلقة (المركبة الأفقية للحقل المغناطيسي الأرضي يقع في مستوى الحلقة).
- (2) دور القرص المدرج بحيث يشير مؤشر الإبرة على التدريج صفر.
- (3) صل الدارة كما هو موضح في الشكل (7).
- (4) أدخل الوشيعة ذات اللفات  $50 = n$  في الدارة.
- (5)أغلق القاطعة.
- (6) طبق فرقاً في الكمون قدره عدّة فولتات، إلى أن يمر في الدارة تيار قدره  $I = 0.02A$
- (7) سجل الانحراف الموافق لغلفانومتر الظل  $\alpha_1$ .
- (8) اعكس القاطعة فتنحرف الإبرة بالاتجاه المناظر للسابق، وسجل الانحراف المناظر  $\alpha_2$  مع مراعاة كون الانحرافات محسورة بين  $20^\circ$  و  $60^\circ$ .
- (9) كرر الطلب (6)، (7)، (8)، السابق من أجل قيم مختلفة لـ  $I$ .

(10) احسب قيمة  $B_H(Tesla)$  من العلاقة (5) مع العلم أن قطر الملف . cm 15

جدول (1).

$I(A)$	الانحراف في الأتجاه المباشر	الانحراف في الأتجاه العكسي	$\bar{\alpha}^\circ$	$tg \bar{\alpha}$	$B_H(T)$	$B_H(G)$
	$\alpha_1^\circ$	$\alpha_2^\circ$				
0.02						
0.03						
0.04						
0.05						
0.06						
0.07						
0.08						

(11) أحسب الأخطاء المركبة في قياس المركبة الأفقية للحقل المغناطيسي الأرضي  $B_H$  بطريقة المتوسط الحسابي.

(12) أرسم على الورقة الميلمترية المنحنى البياني  $I = f(tg \alpha)$ ، ماذا تلاحظ؟

(13) أحسب ميل الخط البياني، ماذا يمثل الميل، ذكر واحدة قياسه، ثم أستنتج بيانياً قيمة المركبة الأفقية للحقل المغناطيسي الأرضي. ماذا تلاحظ؟

(14) أحسب الأخطاء المركبة في قياس المركبة الأفقية للحقل المغناطيسي الأرضي بالطريقة اللوغاريتمية.

ملاحظة:

ببّين الجدول (2) بعض القيم للحقل المغناطيسي.

جدول (2): بعض القيم للحقل المغناطيسي.

قيمة الحقل المغناطيسي	المنبع (أو المصدر)
$B = 10^{-15} T$	الحقل المغناطيسي لدماغ الكائن البشري (مُقاس عند سطح الجمجمة)
$B = 4,7 \cdot 10^{-5} T \cong 0,5 G$	الحقل المغناطيسي الأرضي (مُقاس عند سطح الكرة الأرضية)
$B = [0,1 - 1] T$	الحقل المغناطيسي لمغناطيس دائم المعنطة (مُقاس على بعد بضع ميليمترات من سطحه)

تنوية:

$$1[T] = 10^4[G]$$

5- ماذا تستنتج مما سبق؟

**خطوات إضافية مقترحة:**

## التجربة الرابعة.

قياس الخطوط الطيفية لغاز خامل وأبخرة المعادن باستخدام المنشور ك محلل طيفي

### Measuring the line spectra of inert gases and metal vapors using a prism spectrometer

#### 1- أهداف التجربة: Objects of the Experiment

Adjusting the prism spectrometer	• ضبط المنشور الطيفي.
Calibrating the prism spectrometer with an He-lamp.	• معايرة المنشور الطيفي مع المنبع الضوئي لضوء الهليوم.
Measuring an "unknown" line spectrum.	• قياس الخطوط الطيفية غير المعروفة.
Identifying the unknown light source	• التعرف على مصدر الضوء المجهول.
Calculating the prism refractive index and spectral lines energy	• حساب قرین انكسار المنشور و طاقة الخطوط الطيفية

#### 2- مفاهيم أساسية :Principles

نضع الغاز وبخار المعادن، الذي أثير لكي يشع (أي أن المادة اكتسبت طاقة أدت إلى انتقال إلكترون إلى السويات الطاقية الأعلى أي أصبحت المادة مثارة Excited).

ستصدر المادة طيفاً خطياً بأطوال موجية، التي تكون متعلقة بطبعية وخصائص السويات الطاقية للمادة، بقياس هذه الأطوال الموجية، يمكننا أن نخلص إلى استنتاجات حول طبيعة المادة.

يمكننا استخدام المنشور لفصل الأطياف الخطية، إن الأطوال الموجية تتعلق بقرینة انكسار المنشور  $n$  (المصنوع من مادة زجاج فلينت – flint glass) في هذه التجربة.

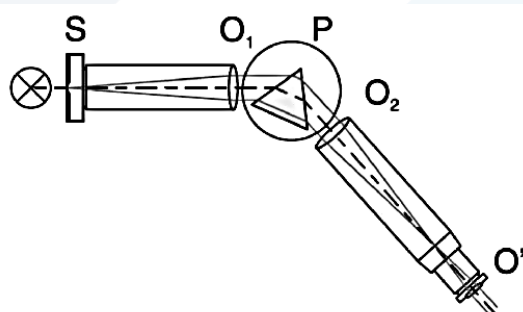
الأشعة المنكسرة من المنشور قد قسمت ونشرت بأطياف متباينة بالاعتماد على أطوالها الموجية، حيث الأطوال الموجية القصيرة هي الأكثر انحرافاً من الأطوال الموجية الطويلة.

في مطياف المنشور ينتشر الضوء الناشئ بطريقة متباعدة من خلال شق  $S$ ، حيث يمكن معايرة طول وعرض هذا الشق، ويسلط الضوء على عدسة  $O_1$  تبعد عن الشق مسافة تساوي بعدها المحرقي، انظر الشكل (1).

الشق والعدسة تشكلا مجمعاً (Collimator) (أي تسمحان بتجميع الحزمة الضوئية وجعلها متوازية)، وراء العدسة، يسقط الضوء على المنشور  $P$  كأشعة متوازية، أي أن كل الأشعة الواردة على المنشور لها زاوية ورود واحدة.

سوف يعني الضوء من انكسار بالمنشور، وكل طول موجي سيحرف بزاوية مختلفة، بالنهاية العدسة الثانية  $O_2$  ستجمع كل الأشعة التي لها طول موجي محدد كصورة عن الشق  $S$  في سطح المحرق للعدسة.

يمكننا ملاحظة ذلك باستخدام العدسة العينية  $O'$ . عدسة الهدف  $O_2$  والعدسة العينية  $O'$  يشكلان تلسكوب فلكي (منظار فلكي) يجمع الأشعة في اللامبادية.



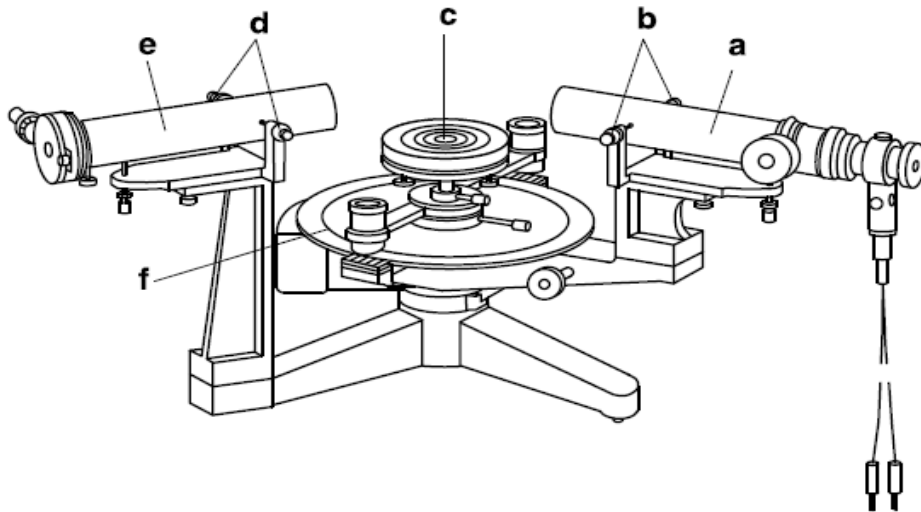
الشكل (1): مسار الشعاع الضوئي في المنشور الطيفي.

Beam path in a prism spectrometer.

يتم وضع المنشور بحيث يكون مسار الحزمة الضوئية متباينة من أجل الطيف المتوسط، وبالتالي فإن الانحراف ضئيل، وهذا بدوره يعطي أعلى دقة لقياسات الطيفية أو الدقيقة (فصل دقيق للخطوط الطيفية).

يتم تركيب التلسكوب (المنظار) على ذراع وحلقة ربط بحيث يمكن قياس زوايا الانحراف، عندما يتم تشغيل التلسكوب تشاهد من العينية خطين متتقاطعين ومتعمدين يتم تحريك التلسكوب ليكون الخط الطيفي منطبق على الخط الشاقولي، لنتتمكن من قياس الزوايا، وبالتالي موضع كل خط طيفي.

إن التلسكوب مجهر بقرص دائري مدرجة (القرص مدرج بأصغر تدریجة تساوي نصف درجة) وفرنيه تساعده في القياس التي تدل على الخط الطيفي بشكل دقيق.

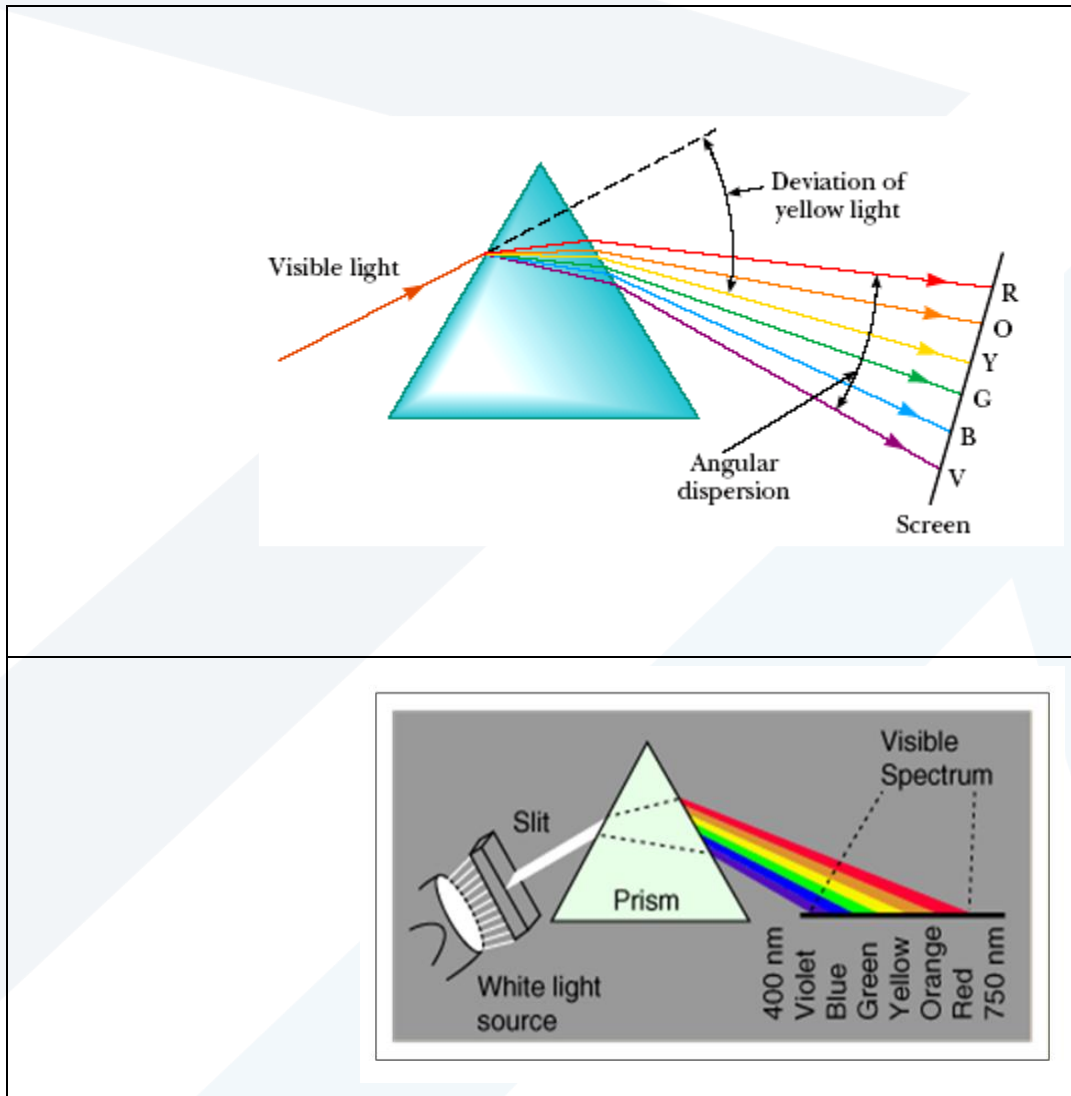


الشكل (2): محلل الطيف.

	Telescope	المنظار
(b)	Adjusting screw for laterally displacing the collimator	ضبط المسار لإزاحة المجمع أفقياً
(c)	Prism table	حامل المنشور
(d)	Adjusting screw for laterally displacing the telescope	ضبط المسار لإزاحة التلسكوب أفقياً
(e)	Collimator	المجمع
(f)	Spectrometer base unit	وحدة القياس للمحلل الطيفي

### 3- تحديد زاوية الانحراف:

إذا سقطت على أحد وجهي منشور ثلاثي حزم متوازية من ضوء مركب كما هو موضح في الشكل (3)، برزت منه حزمة تتحرف أشعتها بزوايا انحراف مختلفة، وذلك لتغير قرينة انكسار المنشور بتغيير طول موجة الضوء الساقط أو الوارد عليها، أي بتغيير لونه.



شكل (3): تبدد الضوء الأبيض أثناء مروره عبر موشور.

لدراسة سير الأشعة في المنشور، نفترض وجود المنشور الذي يقطعه PQS ، يرد عليه الشعاع الضوئي وفق المنحى AB على الوجه PQ (السطح الفاصل بين الوسطين الشفافين هواء - زجاج) في النقطة C صانعا زاوية  $\theta_1$  . ينكسر هذا الشعاع داخل المنشور وفق المنحى CE ، محدثا زاوية  $\theta_1'$  مع الناظم في PS ) - فيرد على الوجه PS (السطح الفاصل بين الزجاج والهواء) محدثا زاوية  $\theta_2$  ثم ينكسر ثانية بارزا من المنشور صانعا زاوية البروز  $\theta_2'$  .

يكون المنشور عادة مصنوعاً من زجاج قرينة انكسار المطلقة  $n$  ومحاطا بالهواء الذي تعد قرينة انكساره المطلقة مساوية للواحد، أي أن قرينة الانكسار المطلقة لمادة المنشور أكبر من قرينة الانكسار المطلقة للوسط المحيط ، وبحسب خواص الانكسار يكون

$$\theta_2' < \theta_2 < \theta_1.$$

من قانون سنيل ديكارت :

$$\sin \theta_1 = n \cdot \sin \theta'_1$$

$$\sin \theta_2 = n \cdot \sin \theta'_2$$

و يمكن برهان أن :

$$A = \theta'_1 + \theta'_2$$

$$\delta_m = \theta_1 + \theta_2 - A$$

تبين التجربة أن تغير زاوية الانحراف ليس تغييرا خطيا مع كل من زاوية الورود و قرينة انكسار مادة المنشور و إنما تمر بنهاية صغرى نرمز لها  $D_m$  ، تسمى زاوية الانحراف الأصغر . و تحصل عندما يكون  $\theta_1 = \theta_2$ .

في هذه الحالة الخاصة ينتج أن :  $\theta_1 = \frac{1}{2}(\delta_m + A)$

و بالتالي تُعطى قرينة انكسار المنشور بالعلاقة التالية:

$$n_\lambda = \frac{\sin\left(\frac{A + \delta_m}{2}\right)}{\sin\left(\frac{A}{2}\right)}$$

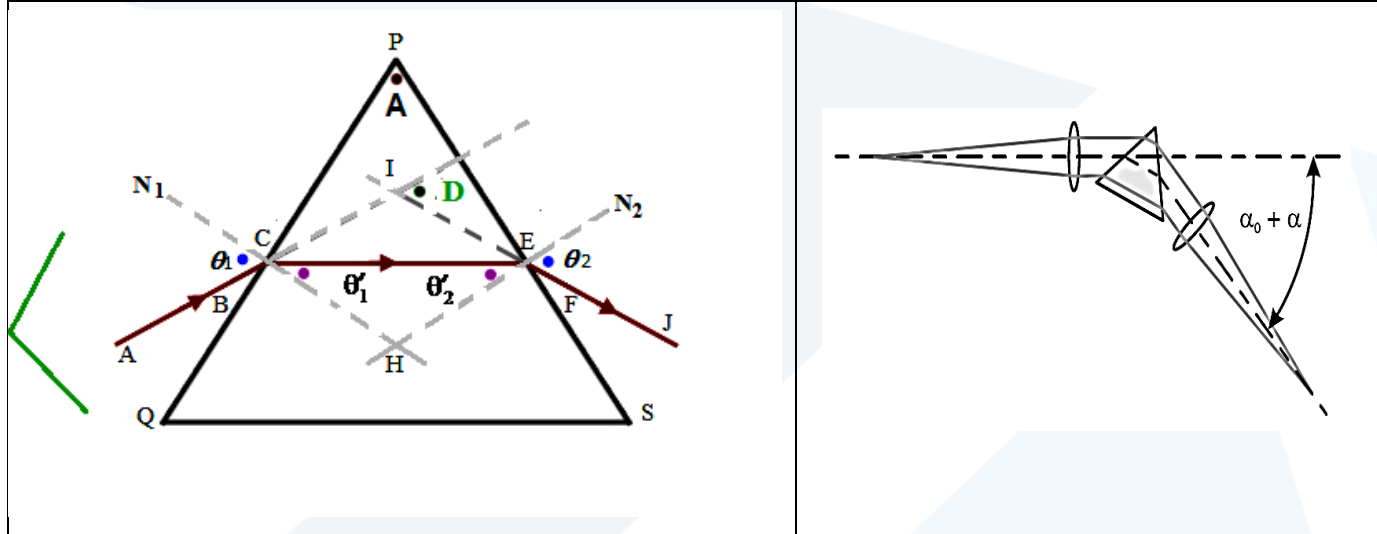
حيث أن:

$D$ : زاوية الانحراف.

$A$  : زاوية رأس المنشور .

$\delta_m$  : قياس زاوية الانحراف الأصغرية من أجل طول موجة خاص.

لتعيين  $D_{min}$  المبين في الشكل (4) حرك القاعدة التي تحمل المنشور ببطء بأي اتجاه حتى تجد الخط الطيفي ، فتجد أنه يسير باتجاه معين وبالاستمرار ، دور المنشور إلى أن تلاحظ أن هذا الخط الطيفي يغير اتجاه سيره ، توقف عن التدوير في النقطة التي يبدأ فيها بتغيير اتجاه سيره ثم وضع الخط الشاقولي من التصالب الموجود في المنظار على اللون الأحمر.



تجريبياً، بحيث تم اختيار طول موجة  $\alpha^0$  الشكل (4): يوضح انكسار الضوء في المنشور و مخطط تعين و تحديد زاوية الانحراف ، أي الزاوية المرجعية، وانطلاقاً منها تحسب بقية الزوايا  $0,00^0 = \alpha_0^0$  موافقاً للزاوية صفر  $5 nm = \lambda$  اللون الأحمر للألوان الأخرى.

#### 4- الأجهزة والأدوات: (Apparatus)

1 Spectrometer and goniometer.	1 محلل طيفي مع مقياس الزوايا.
1 Spectral lamp He, pin contact.	1 مصباح هيدروجيني مع أداة التثبيت.
1 Spectral lamp Cd, pin contact.	1 مصباح كادميوم مع أداة التثبيت.
1 Housing for spectral lamps with pin contact.	1 بيت لحماية المصباح مع أداة التثبيت.
1 Universal choke, 230 V, 50 Hz.	1 مأخذ (فيش) شوكو 230 فولت و 50 هرتز.
1 Transformer 6V AC, 12V AC.	.6V/12V 1 محول 1 قاعدة حاملة على شكل حرف.

#### 5- خطوات العمل وتنفيذ التجربة: Carrying out the experiment

- قم بوضع مصباح الهليوم  $He$  في المكان المخصص له، ثم صل التجربة كما هو موضح في الشكل.



شكل (3): مخطط التجربة العملية بعد الضبط أو المعايرة.

Complet experiment setup after adjustement

- 2 اضئ المصباح على الشق، وتأكد من موضع المصباح على المحور الضوئي للتجربة.
- 3 لاحظ أن وضوح الطيف يزداد مع نقصان عرض الشق، وبالتالي فإن شدة إضاءة الطيف ستنقص.
- 4 عاير عرض الشق بشكل مناسب.
- 5 ضع الخط الشاقولي من التصالب الموجود على المنظار مطابقاً للضوء الأصفر.
- 6 حرك القرص المدرج بالدرجات، ليطابق صفر القرص مع صفر الفرنبيه، ثم ثبت القرص بشكل جيد.
- 7 ضع المؤشر على المكان المخصص له.
- 8 حدد زاوية الانحراف الأصغرى  $\delta_m$ ، عملياً متبوعاً الخطوات التالية:
  - (a) حرك المنظار باتجاه اليسار مع تحرك القاعدة التي تحمل المؤشر ببطء حتى تظهر ألوان الطيف المتحلل.
  - (b) استمر في تحريك قاعدة المؤشر إلى أن تلاحظ أن هذا الخط الطيفي يغير اتجاهه.
  - (c) توقف عن التدوير في النقطة التي يبدأ فيها الطيف بتغيير اتجاهه.
  - (d) ضع الخط الشاقولي من التصالب الموجود في المنظار على اللون الأحمر  $\lambda = 706,5 \text{ nm}$
  - (e) احسب زاوية الانحراف الأصغرى  $\delta_m$  باستخدام العلاقة المناسبة.

9- طاقي صفر الفرنية مع صفر القرص، ثم حرك المنظار بحيث يطابق الخط الشاقولي من المنظار على لون الأحمر الغامق، احسب زاوية الانحراف  $\alpha^\circ$  لهذا اللون، وسجل قيمتها في الجدول (1).

11- احسب زوايا الانحراف لبقية خطوط الطيف، وسجل القيم في الجدول (1).

13- احسب قرينة انكسار المنشور، موضحاً آلية حساب إحدى القيم.

جدول رقم (1)

اللون Color	$\lambda(nm)$	$\alpha^\circ$	$\delta_m^\circ$	$n_\lambda$	$\bar{n}_\lambda$	$E = \frac{hc}{\lambda} (J)$	$E = \frac{hc}{\lambda} (eV)$
الأحمر	706,5	0.00°					
الأحمر	667,8						
الأصفر	587,6						
الأخضر	501,6						
الأخضر	492,2						
الأزرق	471,3						
بنفسجي	447,1						

14- احسب طاقة كل شعاع ضوئي  $E$ . (وضح آلية حساب قيمة واحدة فقط).

- قم بوضع الكادميوم  $cd$  في المكان المخصص بعد أن يبرد مصباح الهليوم .

**خطوات إضافية مقترحة :**

## التجربة الخامسة:

### التمدد الحراري الطولي للأجسام الصلبة

#### Linear thermal expansion of solid bodies

##### 1. الهدف من التجربة:

1. قياس التمدد الحراري الطولي لأنبوب من النحاس الأصفر، كتابع لطول هذا الأنابيب.
2. تحديد معامل التمدد الطولي للنحاس.

##### 1. Objects of the experiment:

Measuring the linear thermal expansion of brass tube, as a function of the overall length. .1

Determining the linear expansion coefficients of brass. .2

##### 2. مبادئ أساسية:

يتناصف طول ( $L$ ) جسم صلب ما طرداً مع درجة حرارته ( $T$ ), وذلك وفق العلاقة الرياضية التالية:

$$L = L_0 \cdot (1 + \alpha \cdot \Delta T) \quad (1)$$

$L_0$ : هي طول الجسم في درجة الحرارة المختبر.

$\Delta T$ : هو الفرق ما بين درجة حرارة المختبر  $T_1$  ودرجة حرارة البخار  $T_2$  المار عبر الأنابيب ويقاس بواحدة  $^{\circ}\text{C}$ .

$\alpha$ : هو معامل التمدد الطولي للجسم، ويتعلق بالتركيب الكيميائي لهذا الجسم.

سيتم في هذه التجربة قياس التمدد الطولي لأنبوب رفيع من النحاس، حيث يتم تسخين الماء حتى درجة الغليان تقريباً باستخدام جهاز ترمومترات، ومن ثم إرسال بخار الماء عبر أنبوب النحاس كما هو موضح في الشكل(1). يمكن تغيير طول الأنابيب المدروسة ليأخذ ثلاثة قيم وهي (600mm . 400mm . 200mm), وذلك عبر توصيله بطريقة مناسبة.

تقاس التغيرات في طول الأنابيب ( $\Delta L = L - L_0$ ), باستخدام مقياس للأطوال مدرج بفواصلة تقدر بـ  $0.01\text{mm}$ .

بحل المعادلة (1) نحصل على المعادلة التالية:

$$\alpha = \frac{\Delta L}{L_0} \cdot \frac{1}{(T_2 - T_1)} \quad (2)$$

تعطي هذه المعادلة قيمة معامل التمدد الطولي لأنبوب المستخدم في التجربة.

## 2. Principles:

The length  $s$  of a solid body is linearly dependent on its temperature  $T$ , according to the following equation:

$$L = L_0 \cdot (1 + \alpha \cdot \Delta T) \quad (1)$$

: length at laboratory temperature  $L_0$

: refers to the given temperature difference between room temperature  $T_1$  and steam temperature  $\Delta T$   
 $T_2$ .

$\alpha$ : is the linear expansion coefficient, and is determined by the material of the solid body.

In this experiment, a thermostat is used to heat the water, and then the stream will be sent to flow through a brass tube, as it is represented in Fig.1. The effective length  $L_0$  of each tube can be set as 200, 400 or 600 mm by mounting it in a corresponding manner. A dial gauge with 0.01 mm scale graduations is used to measure the change in length ( $\Delta L = L - L_0$ ).

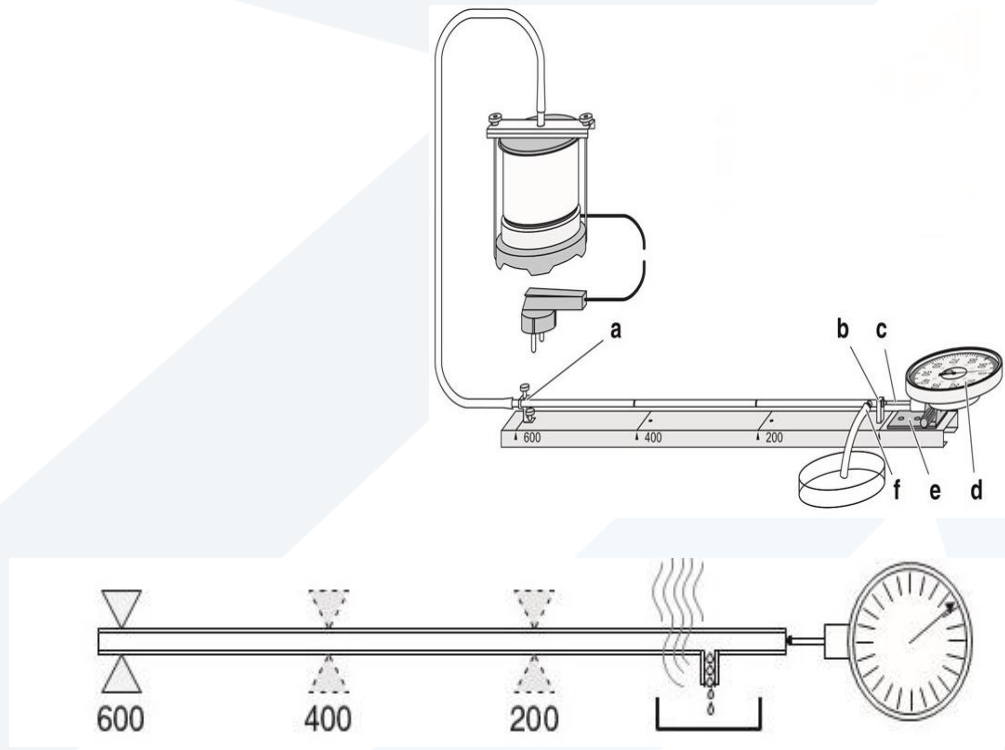
Solving equation (1) gives the linear expansion coefficients of the used brass tube.

$$\alpha = \frac{\Delta L}{L_0} \cdot \frac{1}{(T_2 - T_1)} \quad (2)$$

## 3. الأجهزة والأدوات المستخدمة:

- .1. أنبوب من النحاس الأصفر.
- .2. مقياس لتمدد الأطوال.
- .3. حامل للمقياس.
- .4. مولد بخار ماء (550W/230V)
- .5. أنبوب سيليكون (7 × 1.5 mm) وطوله 1m
- .6. طبق مخبري (150 × 25 mm)

.7 ميزان حرارة (-10 ... +110°C).



الشكل(1): رسم تخطيطي للأدوات المستخدمة في تجربة لقياس التمدد الطولي لأنبوب النحاس، كتابع لطول الأنبوب.

### 3. Apparatus:

Longitudinal expansion apparatus. .1

Dial gauge. .2

Holder for dial gauge. .3

Steam generator (550 W/230 V). .4

Silicone tubing, (dia. 7×1.5 mm), 1 m long. .5

Petri dish, 150 × 25 mm. .6

Thermometer -10 ... +110°C. .7

### 4. تنفيذ التجربة (Carrying out the experiment)

1. إضبط مقياس التمدد على الصفر وذلك باستخدام المفتاح المخصص.
2. قم بقياس درجة الحرارة الداخلية  $T_1$ , أي درجة حرارة المختبر، وسجل هذه القيمة.
3. املأ مولد البخار بكمية كافية من الماء النقى (حتى ارتفاع 2cm)، وتأكد من إغلاقه بأحكام شديدة.

4. صل الجهاز بالتيار الكهربائي وانتظر حتى يبدأ الماء بالغليان.
5. عند بدء غليان الماء راقب انحراف مؤشر مقياس التمدد وسجل القيمة العظمى  $L$  التي يصل إليها المقياس، ثم أحسب القيمة  $\Delta L = (L - L_0)$ .
6. إفصل الجهاز عن التيار الكهربائي ثم انتظر قليلاً حتى تنخفض درجة حرارة أنبوب النحاس إلى القيمة الابتدائية (درجة حرارة المختبر).

**ينبغي التأكّد دوماً وفي كل مرحلة من مراحل التجربة من أن أنابيب السيليكون الموصولة إلى النقطتين (a) و (b) في الشكل (1) مثبتة بشكل جيد، وذلك لتفادي أيّة مخاطر ناتجة عن تسرب الماء أو البخار الساخن.**

7. إحسب قيمة عامل التمدد  $\alpha$  بالاعتماد على العلاقة (2).
8. قم بتغيير مكان حامل الأنبوب ليصبح عند الرقم 400 . ثبت الحامل باحكام على الانبوب و اضبط مقياس التمدد على الصفر ثم أعد تنفيذ التجربة و احسب عامل التمدد
9. أعد تنفيذ الخطوة السابقة بعد وضع حامل الأنبوب على العلامة 200.
10. ارسم تغيرات  $\Delta L = f(L_0)$  واستنتج عامل التمدد بيانيأً.
11. استبدل أنبوب النحاس بأنبوب الفولاذ و قم بتغيير مكان حامل الأنبوب ليصبح عند الرقم 600 . ثبت الحامل باحكام على الانبوب و اضبط مقياس التمدد على الصفر ثم أعد تنفيذ التجربة و احسب عامل التمدد .
12. بالاعتماد على العلاقة (1)، هل هناك طريقة أخرى لحساب عامل التمدد الطولي لأنبوب المستخدم؟ اشرح ذلك.
10. أعط مثال من الطبيعة على تمدد الأجسام الصلبة بفعل ارتفاع درجة الحرارة.

## 5. المراجع : (References)

- 1 Leybold, LD Physics Leaflets-P2.1.1.2 (Thermal expansion of solid bodies).
- 2 Leybold, LD Physics Leaflets- P2.1.1.3 (Measuring the linear expansion of solids as a function of temperature).

**خطوات إضافية مقترحة :**

## التجربة السادسة:

### الحرارة النوعية لجسم صلب

#### Determining the specific heat of solid

الغاية من التجربة

- Determining the specific heat of copper , lead and glass.	- حساب الحرارة النوعية للعينات (النحاس ، الرصاص ، الزجاج)
---	--



#### موجز نظري

إن كمية الحرارة التي يتم امتصاصها أو فقدانها عند تسخين الجسم أو تبريده تتناسب مع تغير درجة الحرارة  $\Delta\theta$  والكتلة  $m$ .

$$\Delta Q = c \cdot m \cdot \Delta\theta$$

$c$  ثابت التناسب ويُدعى بالحرارة النوعية للمادة وهي كمية تعتمد على نوع المادة.

يتم في هذه التجربة قياس الحرارة النوعية لمواد مختلفة على شكل عينات صغيرة يتم في كل حالة وزن العينة من المادة المدروسة ومن ثم تسخينها إلى درجة حرارة  $\theta_1$  ثم تسكب في كمية من الماء التي يتم وزنها والتي لدتها درجة حرارة  $\theta_2$ . تصل درجة حرارة الخليط بعد أن يتم مزجه بعنایة إلى درجة حرارة  $\theta_M$  من خلال التبادل الحراري.

$$\Delta Q_1 = c_1 m_1 (\theta_1 - \theta_m)$$

حيث  $m_1$  كتلة العينة و  $c_1$  الحرارة النوعية للعينة المدروسة.

$$\Delta Q_2 = c_2 m_2 (\theta_m - \theta_2)$$

حيث  $m_2$  كتلة الماء.

عند التوازن نحصل على علاقة الحرارة النوعية للعينة المدروسة

حيث  $c_2$  الحرارة النوعية للماء.

إن المسعر سيمتص جزء من حرارة العينة فالسعة الحرارية تساوي

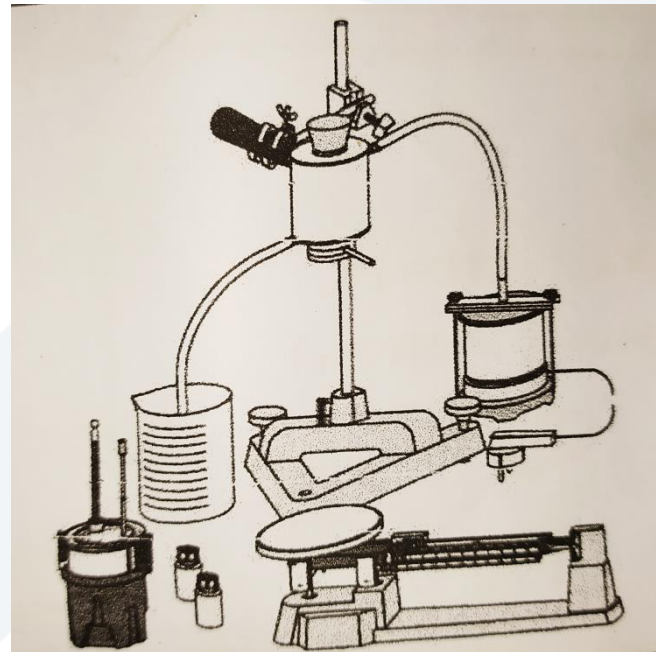
وبالتالي المكافأة المائي للمسعر  $m_k$  سيأخذ بالحسبان فتصبح العلاقة

$$c_1 = c_2 \frac{(m_2 + m_k)(\theta_m - \theta_2)}{m_1(\theta_1 - \theta_m)}$$

## الأجهزة والأدوات

Dewar vessel. copper , lead and glass. School and lab. Thermometer. Steam generator. Beaker. Stand base. Stand rod , 47 cm. Silicone tubing int. dia , 7 × 1.5 mm , 1m. Pair of heat protective gloves.	مسعر عينات من النحاس والرصاص والزجاج میزان مخبری میزان حرارة مولد بخار جهاز تسخين بیشر سعة 400 مل قاعدة حمل على شكل حرف V قضيب حمل طوله 47 سم أنبوب سيليكوني قطره الداخلي 1.5 × 7 ملم وطوله 1 م زوج من الكفوف للحماية من الحرارة
--	---

## تنفيذ التجربة



مخطط التجربة موضح في الشكل

- 1 ضع جهاز التسخين على الحامل.
- 2 ضع الماء في مولد البخار ، أغلق الجهاز بعناية .
- 3 عين كتلة العينة  $m_1$
- 4 املأ الحجرة في جهاز التسخين بالعينة (رصاص...) واختم الحجرة بالسدادة
- 5 شغل جهاز التسخين وسخن العينات لمدة تتراوح بين 20 - 25 دقيقة
- 6 ضع كمية من الماء في المسرع  $g$   $m_2 = 180 \text{ g}$
- 7 ضع الغطاء على الدورق وضع ميزان الحرارة في المكان المخصص له في المسرع
- 8 خذ قياس درجة حرارة الماء  $\theta_2$
- 9 ضع العينات من المادة التي ارتفعت درجة حرارتها إلى 100 درجة ( $\theta_1$ ) في الشبكة المخصصة لها في المسرع وأغلق الغطاء وامزج الماء بالعينات بواسطة المخلط
- 10 اقرأ درجة حرارة المزيج عندما تستقر درجة الحرارة  $\theta_m$
- 11 ضع النتائج التي حصلت عليها في جدول مماثل للجدول المرفق ومن ثم كرر التجربة من أجل عينات أخرى ، ماذا تستنتج ؟

(علمًاً أنَّ المكافئ الحراري للمسعر :  $23g$ )

كتلة عينة الرصاص :  $77g$

كتلة عينة النحاس :  $69g$

كتلة عينة الزجاج :  $19g$

كتلة الماء :  $(180g)$

نوع المادة	$m_1$ $kg$	$\theta_1$	$\theta_2$	$\theta_M$	$\frac{C}{KJ}$ $K.Kg$

خطوات إضافية مقترحة :

### التجربة السابعة:

## دراسة شحن وتفرير مكثفة

### Studying the charging and discharging of a capacitor

### الغاية من التجربة

- Studying the charging and discharging of a capacitor through resistor.	- دراسة شحن وتفرير مكثفة عبر مقاومة.
- Determining the time constants.	- حساب الثابت الزمني للشحن والتفرير.
- Draw the curve of charging and discharging of a capacitor.	- رسم الخط البياني لشحن وتفرير المكثفة.

### charging a capacitor :

### أولاً: شحن مكثفة:

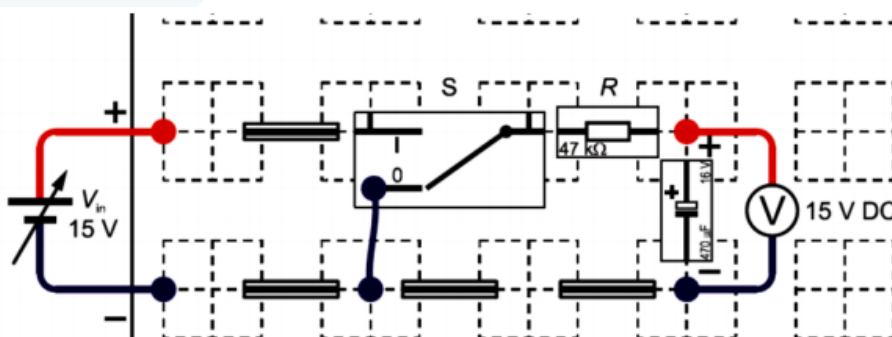
عندما نشحن مكثفة سعتها  $C$  عبر مقاومة  $R$ ، بوساطة منبع للتيار مستمر فرق الكمون بين طرفيه  $V$ ، فإنه بعد فترة من الزمن تابعة للجداه  $RC$  المسمى بـ(ثابت الزمن)، تكتسب هذه المكثفة شحنة كهربائية قدرها  $Q$  تتحقق العلاقة الآتية:

$$Q = C \cdot V \quad (1)$$

وخلال الشحن يمر تيار كهربائي شدته  $i$  تُعطى بالعلاقة الآتية:

$$i = \frac{dq}{dt} \quad (2)$$

لنوصول الدارة المعطاة في الشكل (1)، ولنعتبر بدء الزمن لحظة وضع القاطعه على وضع الشحن، أي الوضع (1)، فيمر تيار تيار شدته  $i$  ، وبنطبق القانون الثاني لکیرشوف (قانون الشبكات / الحلقات) / نحصل على المعادلة التالية:



الشكل (1): الدارة المستخدمة بالتجربة.

$$V = Ri + \frac{q}{C} \quad (3)$$

وكتب هذه المعادلة على الشكل التالي:

$$R \frac{dq}{dt} + \frac{q}{C} = V \quad (4)$$

نحصل بذلك على معادلة تفاضلية حلها من الشكل:

$$q = Q [1 - e^{-t/RC}] \quad (5)$$

وهكذا نحصل على شحنة المكثفة  $q$  بتابعية الزمن.

أما شدة التيار المار بالدارة فيحسب من العلاقة التالية:

$$i = \frac{V}{R} e^{-t/RC} \quad (6)$$

ويحسب فرق الجهد  $V_C$  بين طرفي المكثفة بالعلاقة التالية:

$$V_C = \frac{q}{C} = V [1 - e^{-t/RC}] \quad (7)$$

يُسمى المقدار  $RC$  بالثابت الزمني السعوي، ونرمز له بـ  $\tau$ :

$$\tau = RC \quad (8)$$

وهو عبارة عن الزمن اللازم لنقص الشحنة بمقدار  $(1/e)$ .

### ثانياً: تفريغ مكثفة عبر مقاومة: **discharging a capacitor through resistor**

بعد أن يتم شحن المكثفة ننقل القاطعة إلى الوضع 0 فنعزل منبع التغذية عن المكثفة وتقوم المكثفة بدور المولد فتفرغ شحنتها عبر المقاومة فيمر فيها تيار  $i$  ، ونحصل بتطبيق قانون كيرشوف الثاني على العلاقة التالية:

$$Ri + \frac{q}{C} = 0 \quad (9)$$

ونحصل أيضاً على معادلة تفاضلية من الدرجة الأولى، ويعطي حلها شحنة المكثفة بتابعية الزمن:

$$q = Q e^{-t/RC} \quad (10)$$

وفرق الجهد بين طرفي المكثفة يعطى بالعلاقة:

$$V_c = V e^{-t/RC} \quad (11)$$

و شدة التيار المار فيها:

$$i = \frac{dq}{dt} = \frac{V}{R} e^{-t/RC} = \frac{V}{R} e^{-\frac{t}{\tau}} \quad (12)$$

## Equipments

## ثالثاً : الأجهزة والأدوات:

<b>Circuit Components:</b>	عناصر الدارة: 1- لوحة لوضع العناصر 2- مقاومة 47 أوم 3- مكثفة 470 ميكرو فاراد 4- مفتاح قطع وصل وحدة تغذية: متنابع/مستمر مستقرة
<b>Power supply:</b>	أ أسلاك التوصيل: 3 أزواج من الأسلاك بطول 50 سم، أحمر/أزرق
<b>AC/DC stabilizer</b>	مجموعة من 10 جسور للتوصيل
<b>Connectors:</b>	ميقاتية: ساعة ميقاتية للطالب
3 Pairs of connecting leads, red/blue, 50 cm	أجهزة القياس: جهاز لقياس الجهد، 15 فولت مستمر
1 Set of 10 bridging plugs	
<b>Miscellaneous:</b>	
1 Student's stop-watch	
<b>Measurement Instruments:</b>	
1 Voltmeter, 15 V DC	

## خطوات تنفيذ التجربة وألية كتابة النتائج

### شحن مكثفة: charging a capacitor

- 1 صل الدارة كما في الشكل (1)، بدايةً قبل تطبيق فرق في الجهد من منبع التغذية ضع القاطعة على الوضع (0).
- 2 طبق من منبع التغذية فرقاً في الجهد قيمته  $V_{SUPPLY} = 10V$ .
- 3أغلق القاطعة على الوضع (1) أي وضع شحن المكثفة.
- 4 شغل الميقاتية وخذ قيم الجهد بين طرفي المكثفة ( $V_C$ ) كل 3s وسجلها بالجدول التالي:

$t(s)$	0	5	10	15	20	25	30	35	40	45	50	55	60
$V_C(V)$	0												

- 5 ارسم على الورقة الميلمترية المنحني البياني ( $.V_C = f(t)$ ).
- 6 استنتاج من المنحني البياني قيمة ثابت الزمن السعوي  $\tau$  ، مع ذكر واحدة قياسه.
- 7 أحسب قيمة ثابت الزمن السعوي نظرياً، باستخدام العلاقة  $\tau = R \cdot C$  ، مع العلم أن  $R = 1M\Omega$  وأن  $C = 10\mu F$ . ثم قارن بين قيمتي  $\tau$  العملية من المنحني البياني، والنظرية. ماذا تلاحظ؟

. $\tau = R \cdot C$  ووضح كيفية استنتاج واحدة ثابت الزمن السعوي في الجملة الدولية، انطلاقاً من العلاقة

$$Q = C \cdot V \rightarrow C = \frac{Q}{V} = \frac{I \cdot t}{V} = \frac{t}{R}$$

#### تفریغ مکثفة: discharging a capacitor

-1 أغلق القاطعة على الوضع (0) أي وضع تفريغ المكثفة.

-2 شغل الميقاتية وسجل قيم فرق الجهد بين طرفي المكثفة ( $V_C(V)$ ) كل  $3s$  بالجدول التالي:

$t(s)$	0	3	6	9	12							
$V_C(V)$	10											
$\ln V_C$												

-3 ارسم المنحني البياني ( $V_C(t)$ ).

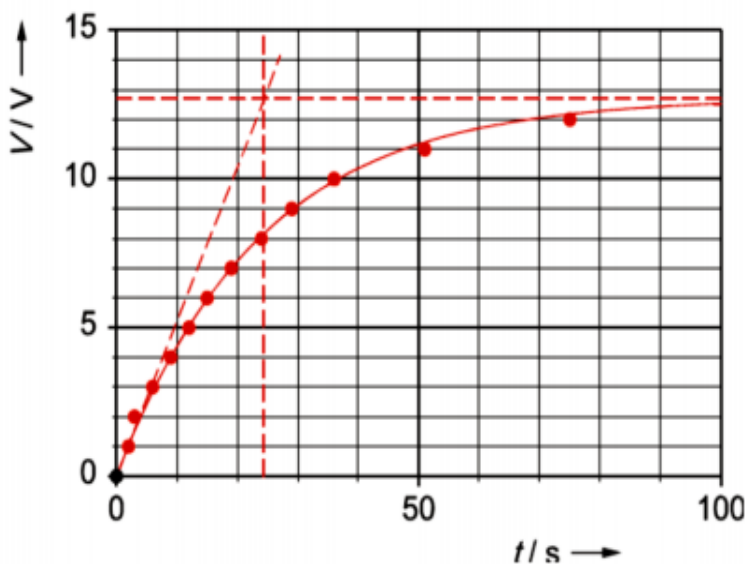
-4 أوجد ميل الخط البياني، ثم وبالاعتماد على العلاقة  $V_C = V_0 e^{-t/\tau}$  بين ماذا يمثل هذا الميل؟

است Ferdinand من قيمة الميل، واستنتاج قيمة ثابت الزمن السعوي  $\tau$ .

#### ملاحظات عامة:

-1 أثناء عملية شحن المكثفة، وعند رسم المنحني البياني ( $V_C = f(t)$ )، نحصل على منحني بياني كما هو موضح في الشكل (2).

-2 ولاستنتاج قيمة  $\tau$  نرسم المماس المار من مبدأ الإحداثيات أي من أجل  $t = 0s$ ، ونرسم المستقيم المماس والموازي لمحور الزمن، فمسقط نقطة تقاطع المماسين على محور الزمن يسمح لنا باستنتاج قيمة  $\tau$  بيانيًّا، وذلك كما هو موضح في الشكل (2).



الشكل (2): رسم المنحني البياني  $V$